

Adapter un modèle selon nos préférences

Introduction à l'intelligence artificielle générative

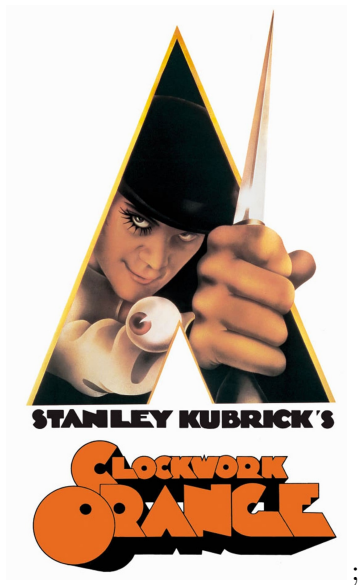
Theo Lopes Quintas

BPCE Payment Services,
Université Paris Dauphine

2025-2026

Introduction

Orange Mécanique - Stanley Kubrick



En résumé

1	Préliminaire mathématiques	2
1.1	Divergence de Kullback-Leibler	3
1.2	Dualité convexe	5
1.3	Méthode <i>policy-gradients</i>	7
2	Adapter à sa préférence	9
3	Adapter partiellement à sa préférence	17

Préliminaire mathématiques

Divergence de Kullback-Leibler

Pour deux mesures de probabilité P et Q on définit :

$$\text{KL}(P\|Q) = \mathbb{E}_{y \sim P} \left[\log \left(\frac{P(y)}{Q(y)} \right) \right] \quad (\text{Kullback-Leibler})$$

Cette quantité est la **divergence de Kullback-Leibler** qui est strictement positive ou nulle quand $P = Q$ presque partout. Elle mesure le **changement de distribution** entre P et Q , plus précisément l'erreur que l'on fait en approchant la véritable distribution P par la distribution Q .

Une identité que nous exploiterons plus tard est la suivante :

$$\arg \max_{\pi} \left\{ \mathbb{E}_{\pi} [f(y)] - \beta \text{KL}(\pi\|\pi_0) \right\} \implies \pi^*(y) = \frac{\pi_0(y) \exp\left(\frac{f(y)}{\beta}\right)}{Z} \quad (\text{Gibbs variational principle})$$

Préliminaire mathématiques

Divergence de Kullback-Leibler

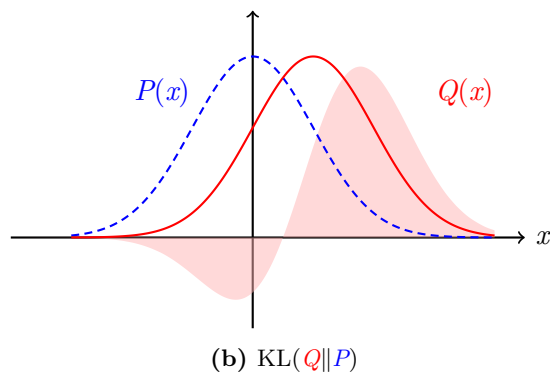
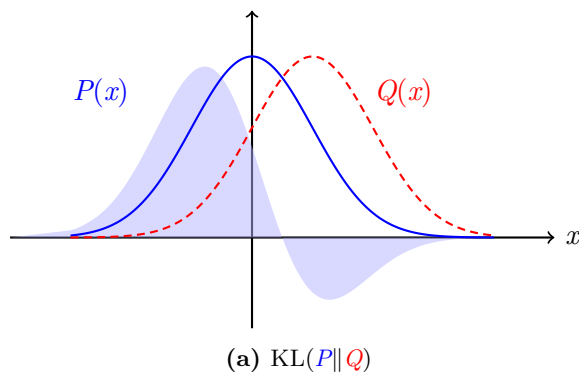


Figure – Kullback-Leibler divergence entre deux gaussienne

Préliminaire mathématiques

Dualité convexe

L'optimisation sous contrainte de fonction convexe peut être approché sous le prisme de la dualité pour passer de la notion de contraintes à pénalités.

Cadre convexe

On cherche à résoudre :

$$\max_x g(x) \text{ tel que } h(x) \leq c \quad (\text{Primal})$$

On peut reformuler le problème primal en problème dual :

$$\min_{\lambda \geq 0} \sup_x g(x) - \lambda (h(x) - c) \quad (\text{Dual})$$

Application

On cherche à résoudre :

$$\max_{\pi} \mathbb{E}_{\pi}[r] \text{ tel que } \text{KL}(\pi \| \pi_0) \leq \varepsilon \quad (\text{Primal})$$

On peut reformuler le problème primal en problème dual, pour $\beta > 0$:

$$\max_{\pi} \mathbb{E}_{\pi}[r] - \beta \text{KL}(\pi \| \pi_0) \quad (\text{Dual})$$

Préliminaire mathématiques

Dualité convexe

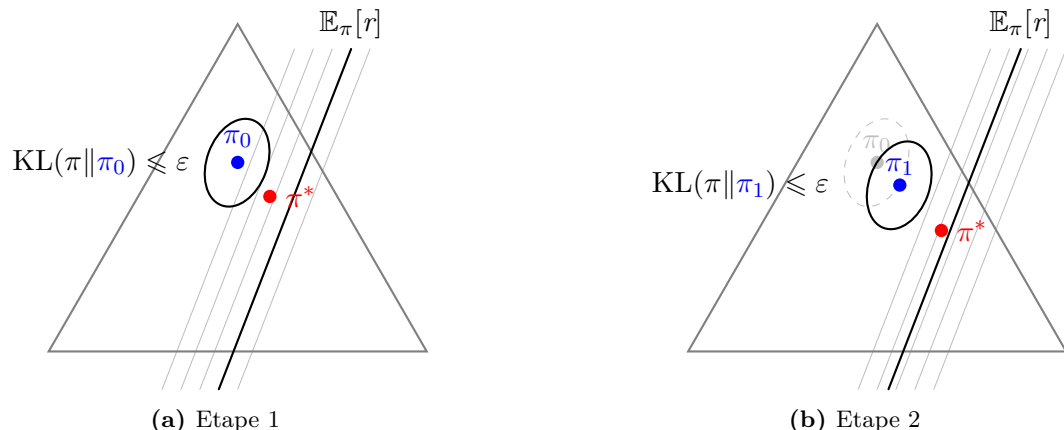


Figure – Deux étapes de mise à jour de politique sous une contrainte de KL-divergence

Il est à noter que les frontière issue d'une divergence de Kullback-Leibler n'est pas forcément symétrique, mais reste convexe.

Préliminaire mathématiques

Méthode policy-gradients

Dans le cadre de l'apprentissage par renforcement, on travaille ici avec une politique paramétrique $\pi_\theta(y|x)$ et un objectif $J(\theta) = \mathbb{E}_{y \sim \pi_{\theta_0}} [R(y)]$. L'objectif de la méthode REINFORCE [Williams, 1992] est de calculer :

$$\begin{aligned}\nabla_\theta J(\theta) &= \nabla_\theta \int \pi_{\theta_0}(y) R(y) dy \\ &= \int \nabla_\theta \pi_{\theta_0}(y) R(y) dy \quad \text{par règle de Leibniz} \\ &= \int \frac{\nabla_\theta \pi_{\theta_0}(y)}{\pi_{\theta_0}} \pi_{\theta_0} R(y) dy \quad \text{et } \nabla_\theta \pi_{\theta_0}(y) = \pi_{\theta_0} \nabla_\theta \log(\pi_{\theta_0}(y)) \\ &= \int \pi_{\theta_0} \nabla_\theta \log(\pi_{\theta_0}(y)) R(y) dy \\ &= \mathbb{E}_{y \sim \pi_{\theta_0}} [\nabla_\theta \log(\pi_{\theta_0}(y)) R(y)]\end{aligned}$$

Afin de réduire la variance, on peut prouver l'identité pour n'importe quelle fonction b :

$$\nabla_\theta J(\theta) = \mathbb{E}_{y \sim \pi_{\theta_0}} [\nabla_\theta \log(\pi_{\theta_0}(y)) (R(y) - b)] \quad \text{où fréquemment } b = \mathbb{E}_{\pi_{\theta_0}} [R]$$

En résumé

1	Préliminaire mathématiques	2
1.1	Divergence de Kullback-Leibler	3
1.2	Dualité convexe	5
1.3	Méthode <i>policy-gradients</i>	7
2	Adapter à sa préférence	9
3	Adapter partiellement à sa préférence	17

Adapter à sa préférence

Motivation

L'entraînement d'un modèle de langage se réalise en deux phases :

1. **Pré-entraînement** : le modèle apprend à l'aide d'un très large corpus documentaire
2. **Le fine-tuning** : le modèle obtenu à la première étape est aligné avec nos préférences.

Pourquoi a-t-on besoin d'un ré-entraînement ? Ne pourrions-nous pas le faire dès l'étape 1 ?

1. **Objectif** : le pré-entraînement répond à la question *Quel est le prochain token le plus probable ?* alors que le fine-tuning répond à l'espérance de l'utilisateur *Quel est la réponse la plus concise / utile / polie ...*
2. **Distribution** : pour un pré-entraînement on utilise un corpus général, pour un fine-tuning un corpus plus spécifique
3. **Préférence** : Plusieurs réponses peuvent être correcte mais certaine seront inacceptables - trop longue, trop informelle, avec problème d'éthique / légalité...

Adapter à sa préférence

PPO : Proximal Policy Optimization

[Schulman et al., 2017] introduit la méthode PPO. A partir d'un prompt x , d'une réponse y , d'un modèle pré-entraîné π_{θ_0} et d'un modèle de récompense $r(x, y) \in \mathbb{R}$, on cherche à résoudre le problème :

$$\max_{\pi} \mathbb{E}_{\pi}[r] \quad \text{tel que} \quad \mathbb{E}_x[\text{KL}(\pi \| \pi_0)] \leq \varepsilon \quad (\text{PPO})$$

En utilisant la formulation duale pour $\beta > 0$, on obtient :

$$\mathcal{L}(\pi) = \mathbb{E}_{\pi}[r] - \beta \mathbb{E}_x[\text{KL}(\pi \| \pi_0)] \quad (\text{PPO dual})$$

On sait que la solution de ce type de problème est de la forme :

$$\pi^*(y|x) \propto \pi_0(y|x) \exp\left(\frac{r(x, y)}{\beta}\right)$$

On va approcher cette solution π^* en prenant le gradient :

$$\nabla_{\theta} \mathcal{L} = \mathbb{E}_{\pi_{\theta_0}} \left[\left(r(x, y) - \beta \log \frac{\pi_{\theta}}{\pi_{\theta_0}} \right) \nabla_{\theta} \log \pi_{\theta_0} \right] = \mathbb{E}_{\pi_{\theta_0}} [A(x, y) \nabla_{\theta} \log \pi_{\theta_0}]$$

Adapter à sa préférence

PPO : Proximal Policy Optimization

$$\nabla_{\theta} \mathcal{L} = \mathbb{E}_{\pi_{\theta_0}} \left[\left(r(x, y) - \beta \log \frac{\pi_{\theta}}{\pi_{\theta_0}} \right) \nabla_{\theta} \log \pi_{\theta_0} \right] = \mathbb{E}_{\pi_{\theta_0}} [A(x, y) \nabla_{\theta} \log \pi_{\theta_0}]$$

Appliquer naïvement ce gradient peut amener à des mises à jour trop importante, ne respectant pas la condition $\mathbb{E}_x [\text{KL}(\pi \| \pi_0)] \leq \varepsilon$. On se propose de faire des mises à jour avec *l'ancienne* politique.

On définit $p_{\theta}(x, y) = \frac{\pi_{\theta}(x, y)}{\pi_{\theta_{old}}(x, y)}$ et avec l'échantillonnage préférentiel : $\mathbb{E}_{\pi_{\theta_0}} [r] \approx \mathbb{E}_{\pi_{\theta_{old}}} [\rho_{\theta}(x, y) A(x, y)]$.

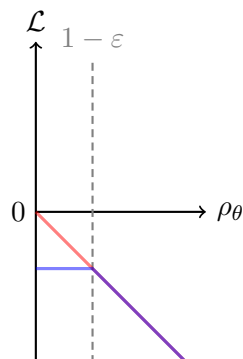
Nous n'avons cependant pas encore régler notre problème de magnitude de mise à jour, PPO utilise la fonction clip :

$$\mathcal{L}_{PPO}(\theta) = \mathbb{E}_{\pi_{old}} [\min (\rho_{\theta} A, \text{clip}(\rho_{\theta}, 1 - \varepsilon, 1 + \varepsilon) A)]$$

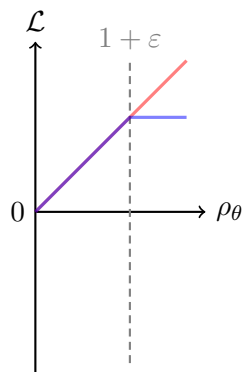
Adapter à sa préférence

PPO : Proximal Policy Optimization

$$\mathcal{L}_{PPO}(\theta) = \mathbb{E}_{\pi_{old}} [\min (\rho_\theta A, \text{clip}(\rho_\theta, 1 - \varepsilon, 1 + \varepsilon) A)]$$



(a) $A < 0$



(b) $A > 0$

Figure – Fonction de perte clippé pour PPO

PPO nécessite d'avoir un modèle de récompense efficace pour permettre l'apprentissage. Il est typiquement obtenu via du RLHF ce qui est coûteux et difficile à mettre en place.

Adapter à sa préférence

DPO : Direct Preference Optimization

[Rafailov et al., 2023] introduit la méthode DPO dont l'objectif est de se séparer d'un modèle de récompense en le remplaçant par une **préférence**. Nous avons maintenant un dataset :

$$\mathcal{D} = \{(x, y^+, y^-) | y^+ \succ y^-\}$$

Le modèle logistique de Bradley-Terry pour la préférence suppose qu'il existe une fonction de récompense r telle que :

$$\mathbb{P}(y^+ \succ y^- | x) = \sigma(r(x, y^+) - r(x, y^-)) \quad (\text{Bradley-Terry})$$

On cherche à résoudre le même problème que PPO, dont on connaît la forme de solution optimale :

$$\pi^*(y|x) \propto \pi_0(y|x) \exp\left(\frac{r(x, y)}{\beta}\right)$$

Adapter à sa préférence

DPO : Direct Preference Optimization

En prenant le ratio de cette solution :

$$\frac{\pi^*(y^+|x)}{\pi^*(y^-|x)} = \frac{\pi_0(y^+|x)}{\pi_0(y^-|x)} \exp\left(\frac{r(x, y^+) - r(x, y^-)}{\beta}\right) \quad \text{en prenant le logarithme}$$

$$r(x, y^+) - r(x, y^-) = \beta \left(\log \frac{\pi^*(y^+|x)}{\pi^*(y^-|x)} - \log \frac{\pi_0(y^+|x)}{\pi_0(y^-|x)} \right) \quad \text{et dans le modèle Bradley-Terry}$$

$$\mathbb{P}(y^+ \succ y^-|x) = \sigma \left(\beta \left[\log \frac{\pi^*(y^+|x)}{\pi^*(y^+|-)} - \log \frac{\pi_0(y^+|x)}{\pi_0(y^+|-)} \right] \right)$$

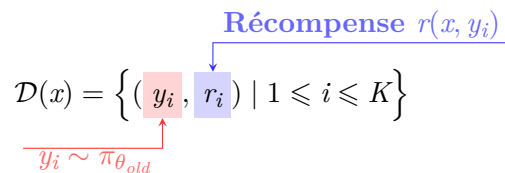
D'où on obtient la fonction de perte pour la méthode DPO :

$$\mathcal{L}_{DPO} = \mathbb{E} \left[\log \sigma \left(\beta \left[\log \frac{\pi^*(y^+|x)}{\pi^*(y^+|-)} - \log \frac{\pi_0(y^+|x)}{\pi_0(y^+|-)} \right] \right) \right]$$

Adapter à sa préférence

GRPO : Group-Relative Policy Optimization

[Shao et al., 2024] introduit la méthode GRPO pour améliorer les capacités de raisonnement mathématiques des modèles de langages. Cette fois, nous avons un dataset pour chaque prompt x :



Rappel : PPO

Avec l'échantillonnage préférentiel :

$$\mathbb{E}_{\pi_{\theta_0}} [r] \approx \mathbb{E}_{\pi_{\theta_{old}}} [\rho_{\theta}(x, y) A(x, y)]$$

Nous avions obtenu :

$$\mathcal{L}_{PPO}(\theta) = \mathbb{E}_{\pi_{old}} [\min (\rho_{\theta} A, \text{clip}(\rho_{\theta}, 1 - \varepsilon, 1 + \varepsilon) A)]$$

Nouveauté de GRPO

On introduit $\bar{r}(x) = \frac{1}{K} \sum_{i=1}^K r_i(x, y_i)$ et on définit $A_i = r_i - \bar{r}$. La fonction de perte devient :

$$\mathcal{L}_{GRPO}(\theta) = \mathbb{E}_{\pi_{old}} \left[\frac{1}{K} \sum_{i=1}^K \min (\rho_{\theta} A_i, \text{clip}(\rho_{\theta}, 1 - \varepsilon, 1 + \varepsilon) A_i) \right]$$

En résumé

1	Préliminaire mathématiques	2
2	Adapter à sa préférence	9
2.1	PPO : Proximal Policy Optimization	10
2.2	DPO : Direct Preference Optimization	13
2.3	GRPO : Group-Relative Policy Optimization	15
3	Adapter <i>partiellement</i> à sa préférence	17

Adapter partiellement à sa préférence

Motivation

[Li et al., 2018] montre que les réseaux de neurones en général ont un espace des paramètres qui est en réalité effectivement de rang inférieur. Puisque les modèles de langage en sont, [Aghajanyan et al., 2020] le démontre.

Partant de ce résultat, on peut se poser la question de réentraîner **tous** les poids.
Une **partie** pourrait suffire.

Adapter partiellement à sa préférence

LoRA : Low-Rank Adaptation

[Hu et al., 2021] introduit LoRA qui se résume comme suit :

1. Figer la matrice de poids W_0 du modèle
2. Initialiser une matrice A selon une loi normale et une matrice B valant 0
3. Calculer l'output à partir d'un input via la multiplication de la matrice $W_0 + \frac{\alpha}{r}AB$

Le terme $\frac{\alpha}{r}$ permet de contrôler la magnitude de modification des poids et s'assurer que la magnitude de AB n'est pas proportionnelle à r .

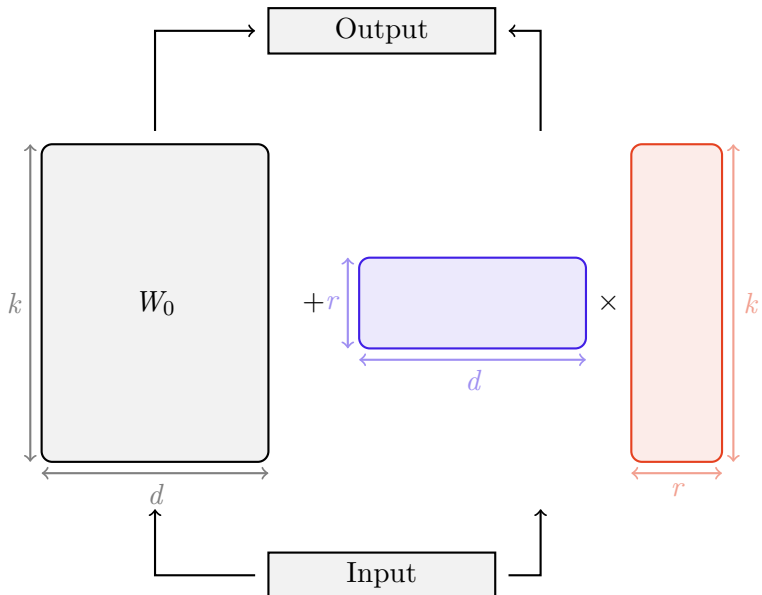


Figure – Schéma du fonctionnement de LoRA

Adapter partiellement à sa préférence

LoRA : Low-Rank Adaptation

L'intérêt de la méthode LoRA est de réduire le nombre de paramètre à l'entraînement. Vérifions-le avec le modèle contemporain à l'article : GTP3

- ▶ $d_{model} = 12288$ et 96 couches
- ▶ Nombre de paramètre : 175 milliards
- ▶ Poids des couches d'attentions : $96 \times (4 \times d_{model}^2) = 58$ milliards

LoRA ne s'applique que sur les 4 couches d'attentions et introduit 2nd paramètres pour chaque couches. Ainsi :

Rang r	Nombre de paramètre LoRA (millions)
1	9.4
2	18.9

Concrètement, cela permet par exemple :

- ▶ Avoir plusieurs modèles avec des comportements différents en changeant les matrices A et B , moins imposante en stockage
- ▶ Permettre au grand public d'ajuster des modèles de langage avec des GPU *standard*

Adapter partiellement à sa préférence

LoRA : visuellement

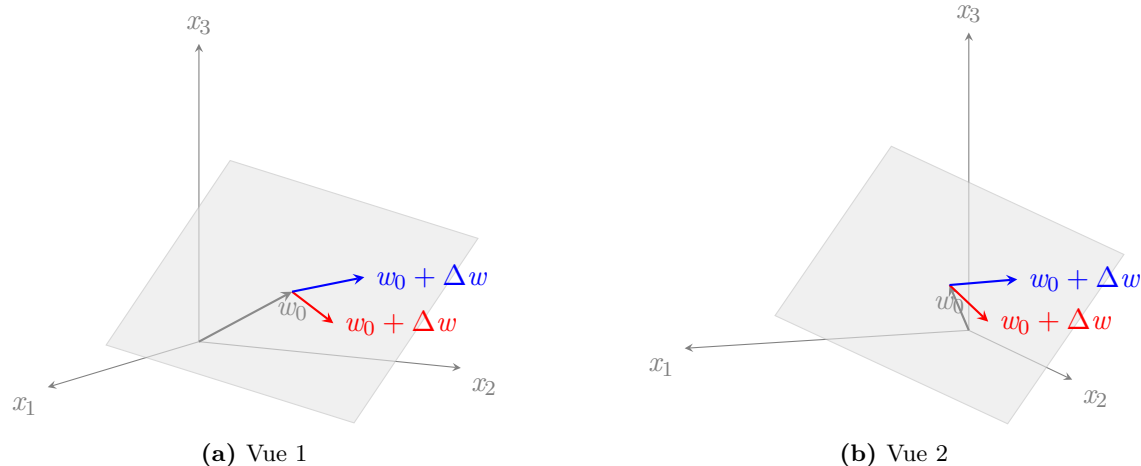


Figure – Deux exemples de mise à jour avec LoRA pour $r = 2$

L'optimisation peut être accélérée en suivant une approche *quantisé* [Dettmers et al., 2023], notamment pour réduire l'impact mémoire.

Adapter partiellement à sa préférence

DoRA : Weight-Decomposed Low-Rank Adaptation

[Liu et al., 2024] introduit la méthode DoRA, liée à la méthode LoRA. A partir des paramètres du modèle initial $W_0 \in \mathcal{M}_{d,k}$ on construit deux matrices A et B selon la méthode LoRA, puis on obtient les paramètres du *nouveau* modèle :

$$W = \underbrace{\begin{matrix} m \\ \hline \text{Magnitude } m \in \mathbb{R}^d \end{matrix}}_{\text{Magnitude } m \in \mathbb{R}^d} \times \frac{W_0 + AB}{\|W_0 + AB\|} \quad (\text{DoRA})$$

Si l'on regarde le gradient de la méthode DoRA pour un vecteur $w \in \mathbb{R}^d$, en notant $\tilde{w} = w_0 + AB$:

$$\frac{\partial w}{\partial \tilde{w}} = \frac{m}{\|\tilde{w}\|} \left(I - \frac{\tilde{w}}{\|\tilde{w}\|} \left(\frac{\tilde{w}}{\|\tilde{w}\|} \right)^T \right)$$

Cette fois, les matrices A et B ne peuvent pas changer la magnitude, uniquement permettre une rotation, en ajoutant simplement un paramètre par dimension.

Adapter partiellement à sa préférence

DoRA : Weight-Decomposed Low-Rank Adaptation

Comme LoRA, l'intérêt de la méthode DoRA est de réduire le nombre de paramètre à l'entraînement. Vérifions-le à nouveau avec GPT-3.

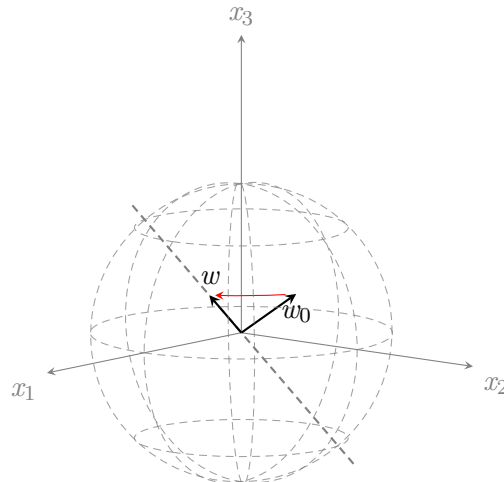
- ▶ $d_{model} = 12288$ et 96 couches
- ▶ Nombre de paramètre : 175 milliards
- ▶ Poids des couches d'attentions : $96 \times (4 \times d_{model}^2) = 58$ milliards

DoRA ne s'applique que sur les 4 couches d'attentions et introduit $2rd + d$ paramètres pour chaque couches. Ainsi :

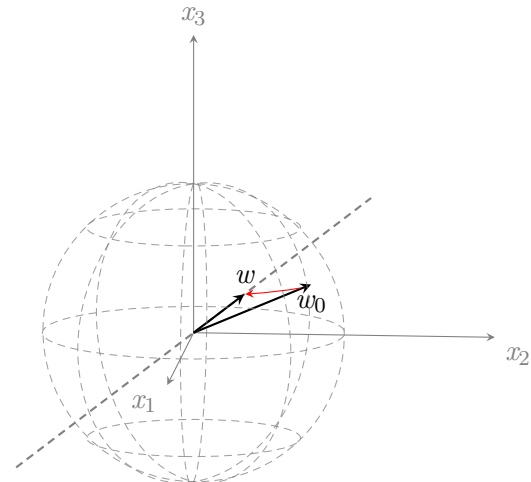
Rang r	Nombre de paramètre (millions)		% de GPT3	
	LoRA	DoRA	LoRA	DoRA
1	9.4	14.2	0.005	0.008
2	18.9	23.6	0.011	0.013

Adapter partiellement à sa préférence

DoRA : visuellement



(a) Vue 1



(b) Vue 2

Figure – Deux exemples de mise à jour avec DoRA pour $r = 2$, sans la mise à jour de magnitude

En résumé

1	Préliminaire mathématiques	2
2	Adapter à sa préférence	9
3	Adapter <i>partiellement</i> à sa préférence	17
3.1	LoRA : Low-Rank Adaptation	18
3.2	DoRA : Weight-Decomposed Low-Rank Adaptation	21

Bibliographie I

-  Aghajanyan, A., Gupta, S., and Zettlemoyer, L. (2020).
Intrinsic dimensionality explains the effectiveness of language model fine-tuning.
In *Proceedings of the 59th annual meeting of the association for computational linguistics and the 11th international joint conference on natural language processing (volume 1 : long papers)*.
-  Dettmers, T., Pagnoni, A., Holtzman, A., and Zettlemoyer, L. (2023).
Qlora : Efficient finetuning of quantized LMs.
Advances in neural information processing systems.
-  Hu, E. J., Shen, Y., Wallis, P., Allen-Zhu, Z., Li, Y., Wang, S., Wang, L., Chen, W., et al. (2021).
Lora : Low-rank adaptation of large language models.
ICLR, 1(2) :3.
-  Li, C., Farkhoor, H., Liu, R., and Yosinski, J. (2018).
Measuring the intrinsic dimension of objective landscapes.
arXiv preprint arXiv :1804.08838.
-  Liu, S.-Y., Wang, C.-Y., Yin, H., Molchanov, P., Wang, Y.-C. F., Cheng, K.-T., and Chen, M.-H. (2024).
Dora : Weight-decomposed low-rank adaptation.
In *Forty-first International Conference on Machine Learning*.
-  Rafailov, R., Sharma, A., Mitchell, E., Manning, C. D., Ermon, S., and Finn, C. (2023).
Direct preference optimization : Your language model is secretly a reward model.
Advances in neural information processing systems.

Bibliographie II

-  Schulman, J., Wolski, F., Dhariwal, P., Radford, A., and Klimov, O. (2017).
Proximal policy optimization algorithms.
arXiv preprint arXiv :1707.06347.
-  Shao, Z., Wang, P., Zhu, Q., Xu, R., Song, J., Bi, X., Zhang, H., Zhang, M., Li, Y., Wu, Y., et al. (2024).
Deepseekmath : Pushing the limits of mathematical reasoning in open language models.
arXiv preprint arXiv :2402.03300.
-  Williams, R. J. (1992).
Simple statistical gradient-following algorithms for connectionist reinforcement learning.
Machine learning, 8(3) :229–256.